

Н. В. Майбородина, В. Ф. Мейш

**ВЫНУЖДЕННЫЕ КОЛЕБАНИЯ ПОДКРЕПЛЕННЫХ ПОПЕРЕЧНЫМИ
РЕБРАМИ ЭЛЛИпсоИДАЛЬНЫХ ОБОЛОЧЕК ПРИ ДЕЙСТВИИ
НЕСТАЦИОНАРНОЙ РАСПРЕДЕЛЕННОЙ НАГРУЗКИ**

*Институт механики им. С. П. Тимошенко НАНУ,
ул. Нестерова, 3, 03057, Киев, Украина;
e-mail: desc@inmech.kiev.ua*

Abstract: A problem on forced non-axisymmetric vibrations of the stiffened ellipsoidal shells under non-stationary load is considered. A numerical algorithm is constructed, the numerical solution of problem and the findings are given.

Key words: stiffened ellipsoidal shell, geometrically nonlinear theory, numerical method, forced non-axisymmetric vibrations.

Введение.

Исследования динамического поведения эллипсоидальных подкрепленных оболочек является актуальными, так как они находят широкое применение в современных инженерных конструкциях. До настоящего времени рассмотрены, в основном, гармонические колебания подкрепленных оболочек простой геометрии (цилиндрические, конические и сферические) [1 – 3, 6, 19]. Вынужденные колебания подкрепленных оболочек при импульсных нагрузках исследованы в работах [7 – 9, 18]. Практически отсутствуют работы по изучению динамического поведения подкрепленных оболочек более сложной формы. В этом направлении следует отметить работы [8 – 14], в которых представлены результаты по вынужденным колебаниям оболочек вращения, в частности, эллипсоидальных подкрепленных оболочек. В математическом плане такие задачи являются достаточно сложными как в плане их постановки, так и их решения (использование уравнений теории упругости, формулировка условий контакта оболочка – ребро, построение численного алгоритма решения исходных задач и т. д.).

В данной работе приведены уравнения неосесимметричных колебаний дискретно подкрепленной эллипсоидальной оболочки. При рассмотрении обшивки и подкрепляющих ребер использована уточненная теория оболочек и стержней, в которой приняты гипотезы Тимошенко [9, 15]. Для вывода уравнений колебаний использован вариационный принцип Гамильтона – Остроградского. Численный метод решения динамических уравнений основан на применении интегро-интерполяционного метода построения конечно-разностных схем для уравнения с разрывными коэффициентами. В качестве числового примера рассмотрена задача об неосесимметричных колебаниях поперечно подкрепленной эллипсоидальной оболочки при действии распределенной внутренней нагрузки, нормальной к поверхности оболочки.

§1. Постановка задачи.

Рассмотрим неоднородную упругую структуру, которая представляет собой дискретно подкрепленную поперечными ребрами эллипсоидальную оболочку. Геометрию срединной поверхности гладкой оболочки задаем соотношениями [4 – 5]

$$x = R \sin \alpha_1 \sin \alpha_2; \quad y = R \sin \alpha_1 \cos \alpha_2; \quad z = kR \cos \alpha_1, \quad (1.1)$$

где параметры α_1, α_2 – гауссовы криволинейные координаты на поверхности оболочки, причем координата α_1 соответствует меридиальному направлению, а α_2 – окружному; $k = b/a$ – параметр эллиптичности; a, b – полуоси эллипса.

Выражения для компонент метрики и формы срединной поверхности оболочки имеют вид

$$a_{11} = R^2 (\cos^2 \alpha_1 + k^2 \sin^2 \alpha_1); \quad a_{22} = R^2 \sin^2 \alpha_1; \quad (1.2)$$

$$b_{11} = kR (\cos^2 \alpha_1 + k^2 \sin^2 \alpha_1)^{-1/2}; \quad b_{22} = kR \sin^2 \alpha_1 (\cos^2 \alpha_1 + k^2 \sin^2 \alpha_1)^{-1/2}.$$

Коэффициенты первой квадратичной формы и кривизны срединной поверхности эллипсоидальной оболочки имеют следующий вид:

$$A_1 = a (\cos^2 \alpha_1 + k^2 \sin^2 \alpha_1)^{1/2}; \quad A_2 = a \sin \alpha_1; \quad (1.3)$$

$$k_1 = \frac{b}{a^2} (\cos^2 \alpha_1 + k^2 \sin^2 \alpha_1)^{-3/2}; \quad k_2 = \frac{b}{a^2} (\cos^2 \alpha_1 + k^2 \sin^2 \alpha_1)^{-1/2}.$$

При построении математической модели процесса динамического деформирования конструкции используем геометрически нелинейный вариант теории оболочек типа модели Тимошенко, в основу которого положены следующие предположения.

Изменение перемещений по толщине оболочки в системе координат (s_1, s_2, z) задается аппроксимацией вида

$$u_1^z(s_1, s_2, z) = u_1(s_1, s_2) + z\varphi_1(s_1, s_2); \quad (1.4)$$

$$u_2^z(s_1, s_2, z) = u_2(s_1, s_2) + z\varphi_2(s_1, s_2); \quad u_3^z(s_1, s_2, z) = u_3(s_1, s_2), \quad z \in \left[-h/2, h/2\right],$$

где $u_1, u_2, u_3, \varphi_1, \varphi_2$ – компоненты обобщенного вектора перемещений срединной поверхности оболочки; $s_1 = \alpha_1 A_1, s_2 = \alpha_2 A_2$, где A_1, A_2 – коэффициенты первой квадратичной формы эллипсоидальной оболочки.

Выражения для величин деформаций в квадратичном приближении для оболочки примем в виде [16]

$$\varepsilon_{11} = \frac{\partial u_1}{\partial s_1} + k_1 u_3 + \frac{1}{2} \theta_1^2; \quad \varepsilon_{22} = \frac{\partial u_2}{\partial s_2} + \frac{1}{A_2} \frac{\partial A_2}{\partial s_1} u_1 + k_2 u_3 + \frac{1}{2} \theta_2^2; \quad (1.5)$$

$$\varepsilon_{12} = \omega + \theta_1 \theta_2; \quad \varepsilon_{13} = \varphi_1 + \theta_1; \quad \varepsilon_{23} = \varphi_2 + \theta_2; \quad \omega = \omega_1 + \omega_2;$$

$$\omega_1 = \frac{\partial u_2}{\partial s_1}; \quad \omega_2 = \frac{\partial u_1}{\partial s_2} - \frac{1}{A_2} \frac{\partial A_2}{\partial s_1} u_2; \quad \theta_1 = \frac{\partial u_3}{\partial s_1} - k_1 u_1; \quad \theta_2 = \frac{\partial u_3}{\partial s_2} - k_2 u_2;$$

$$\chi_{11} = \frac{\partial \varphi_1}{\partial s_1}; \quad \chi_{22} = \frac{\partial \varphi_2}{\partial s_2} + \frac{1}{A_2} \frac{\partial A_2}{\partial s_1} \varphi_1;$$

$$\chi_{12} = \tau_1 + \tau_2 + \kappa_1 \omega_1 + \kappa_2 \omega_2; \quad \tau_1 = \frac{\partial \varphi_2}{\partial s_1}; \quad \tau_2 = \frac{\partial \varphi_1}{\partial s_2} - \frac{1}{A_2} \frac{\partial A_2}{\partial s_1} \varphi_2.$$

§2. Основные уравнения.

При построении математической модели деформирования j -го подкрепляющего ребра направленного вдоль оси α_2 будем исходить из гипотезы недеформируемости поперечного сечения подкрепляющего элемента в рамках геометрически нелинейной теории стержней Тимошенко. При этом используем следующую аппроксимацию перемещений по сечению j -го подкрепляющего ребра:

$$U_{1j}^{xz}(x, s_2, z) = U_{1j}(s_2) + z\varphi_{1j}(s_2); \quad (2.1)$$

$$U_{2j}^{xz}(x, s_2, z) = U_{2j}(s_2) + z\varphi_{2j}(s_2); \quad U_{3j}^{xz}(x, s_2, z) = U_{3j}(s_2),$$

где $U_{1j}, U_{2j}, U_{3j}, \varphi_{1j}, \varphi_{2j}$ – компоненты обобщенного вектора перемещений центра тяжести поперечного сечения j -го ребра.

Выражения для величин деформаций в квадратичном приближении для подкрепляющих ребер принимают вид

$$\varepsilon_{22j} = \frac{\partial u_2}{\partial s_2} \pm h_{cj} \frac{\partial \varphi_2}{\partial s_2} + k_{2j} u_3 + \frac{1}{2} \theta_{1j}^2 + \frac{1}{2} \theta_{2j}^2; \quad (2.2)$$

$$\varepsilon_{21j} = \theta_{2j}; \quad \varepsilon_{23j} = \varphi_2 + \theta_{1j}; \quad \theta_{1j} = \frac{\partial u_3}{\partial s_2} - k_{2j} (u_2 \pm h_{cj} \varphi_2);$$

$$\theta_2 = \frac{\partial u_1}{\partial s_2} \pm h_{cj} \frac{\partial \varphi_1}{\partial s_2}; \quad \chi_{21j} = \frac{\partial \varphi_1}{\partial s_2}; \quad \chi_{22j} = \frac{\partial \varphi_2}{\partial s_2}.$$

Условия контакта между компонентами вектора перемещений центра тяжести поперечного сечения j -го ребра, направленного вдоль оси α_2 , и компонентами обобщенного вектора перемещения исходной срединной поверхности записываем в виде [1, 3, 8, 9]:

$$U_{1j}(s_2) = U_1(s_{1j}, s_2) \pm h_{cj} \varphi_2(s_{1j}, s_2); \quad U_{2j}(s_2) = U_2(s_{1j}, s_2) \pm h_{cj} \varphi_1(s_{1j}, s_2); \quad (2.3)$$

$$U_{3j}(s_2) = U_3(s_{1j}, s_2); \quad \varphi_{1j}(s_2) = \varphi_2(s_{1j}, s_2); \quad \varphi_{2j}(s_2) = \varphi_1(s_{1j}, s_2),$$

где $h_{cj} = 0,5(h + h_j)$ – расстояние от срединной поверхности к линии центра тяжести поперечного сечения j -го ребра; h_j – высота j -го подкрепляющего ребра, направленного вдоль оси α_2 ; α_{1j} – координата линии проектирования центра тяжести поперечного сечения j -го ребра на координатную срединную поверхность обшивки.

При выводе уравнений движения используется интегральная форма представления условий контакта [12].

Для вывода уравнений колебаний дискретно подкрепленной структуры используем вариационный принцип Гамильтона – Остроградского, согласно которому

$$\int_{t_1}^{t_2} [\delta(\Pi - K) + \delta A] dt = 0; \quad (2.4)$$

$$\Pi = \Pi_0 + \sum_{j=1}^{n_2} \Pi_j; \quad K = K_0 + \sum_{j=1}^{n_2} K_j,$$

где Π_0, K_0 – потенциальная и кинетическая энергия обшивки; Π_j, K_j – потенциальная и кинетическая энергия соответствующего j -го подкрепляющего ребра; A – работа внешних сил.

Выражения для δK и $\delta \Pi$ имеют вид

$$\delta \Pi = \delta \Pi_0 + \sum_{j=1}^{n_2} \delta \Pi_j; \quad \delta K = \delta K_0 + \sum_{j=1}^{n_2} \delta K_j; \quad (2.5)$$

$$\delta \Pi_0 = \iint_S [T_{11} \delta \varepsilon_{11} + T_{22} \delta \varepsilon_{22} + S \delta \varepsilon_{12} + T_{13} \delta \varepsilon_{13} + T_{23} \delta \varepsilon_{23} + M_{11} \delta \kappa_{11} + M_{22} \delta \kappa_{22} + H \delta (\tau_1 + \tau_2)] ds;$$

$$\delta \Pi_j = \int_{l_2} [T_{21j} \delta \varepsilon_{21j} + T_{22j} \delta \varepsilon_{22j} + T_{23j} \delta \varepsilon_{23j} + M_{21j} \delta \kappa_{21j} + M_{22j} \delta \kappa_{22j}] dl_2;$$

$$\delta K_0 = \rho h \iint_S \left[\frac{\partial U_1}{\partial t} \delta \frac{\partial U_1}{\partial t} + \frac{\partial U_2}{\partial t} \delta \frac{\partial U_2}{\partial t} + \frac{\partial U_3}{\partial t} \delta \frac{\partial U_3}{\partial t} + \frac{h^2}{12} \left(\frac{\partial \varphi_1}{\partial t} \delta \frac{\partial \varphi_1}{\partial t} + \frac{\partial \varphi_2}{\partial t} \delta \frac{\partial \varphi_2}{\partial t} \right) \right] dS;$$

$$\delta K_j = \rho_j h_j \int_{l_2} \left[\frac{\partial U_{1j}}{\partial t} \delta \frac{\partial U_{1j}}{\partial t} + \frac{\partial U_{2j}}{\partial t} \delta \frac{\partial U_{2j}}{\partial t} + \frac{\partial U_{3j}}{\partial t} \delta \frac{\partial U_{3j}}{\partial t} + \frac{I_{crj}}{F_j} \frac{\partial \varphi_j}{\partial t} \delta \frac{\partial \varphi_j}{\partial t} + \frac{I_{2j}}{F_j} \frac{\partial \varphi_{2j}}{\partial t} \delta \frac{\partial \varphi_{2j}}{\partial t} \right] dl_2.$$

После стандартного выполнения операций варьирования и интегрирования с учетом условий контакта обшивка – j -ое ребро (2.3) получаем две группы уравнений:

1) уравнения колебаний оболочки в гладкой области

$$\frac{1}{A_2} \left[\frac{\partial}{\partial s_1} (A_2 T_{11}) - \frac{\partial A_2}{\partial s_1} T_{22} \right] + k_1 \bar{T}_{13} + \frac{1}{A_1} \frac{\partial}{\partial s_2} (A_1 T_{21}) = \rho h \frac{\partial^2 u_1}{\partial t^2}; \quad (2.6)$$

$$\frac{1}{A_2} \left[\frac{\partial}{\partial s_1} (A_2 T_{12}) - \frac{\partial A_2}{\partial s_1} T_{21} \right] + k_2 \bar{T}_{23} + \frac{1}{A_1} \frac{\partial}{\partial s_2} (A_1 T_{22}) = \rho h \frac{\partial^2 u_2}{\partial t^2};$$

$$\frac{1}{A_2} \frac{\partial}{\partial s_1} (A_2 \bar{T}_{13}) - k_1 T_{11} - k_2 T_{22} + P_3 + \frac{1}{A_1} \frac{\partial}{\partial s_2} (A_1 \bar{T}_{23}) = \rho h \frac{\partial^2 u_3}{\partial t^2};$$

$$\frac{1}{A_2} \left[\frac{\partial}{\partial s_1} (A_2 M_{11}) - \frac{\partial A_2}{\partial s_1} M_{22} \right] - T_{13} + \frac{1}{A_1} \frac{\partial}{\partial s_2} (A_1 M_{21}) = \rho \frac{h^3}{12} \frac{\partial^2 \varphi_1}{\partial t^2};$$

$$\frac{1}{A_2} \left[\frac{\partial}{\partial s_1} (A_2 M_{12}) + \frac{\partial A_2}{\partial s_1} M_{21} \right] + \frac{1}{A_1} \frac{\partial}{\partial s_2} (A_1 M_{22}) - T_{23} = \rho \frac{h^3}{12} \frac{\partial^2 \varphi_2}{\partial t^2};$$

$$T_{11} = B_{11} \varepsilon_{11} + B_{12} \varepsilon_{22}; \quad T_{22} = B_{21} \varepsilon_{11} + B_{22} \varepsilon_{22}; \quad (2.7)$$

$$T_{12} = S + k_2 H ; T_{21} = S + k_1 H ; T_{13} = B_{13} \varepsilon_{13} ; T_{23} = B_{23} \varepsilon_{23} ;$$

$$\bar{T}_{13} = T_{13} + T_{11} \theta_1 + S \theta_2 ; \bar{T}_{23} = T_{23} + T_{22} \theta_2 + S \theta_1 ;$$

$$S = B_s \varepsilon_{12} ; M_{11} = D_{11} \chi_{11} + D_{12} \chi_{22} ;$$

$$M_{22} = D_{21} \chi_{11} + D_{22} \chi_{22} ; M_{12} = M_{21} = H ; H = D_s \chi_{12} ;$$

2) уравнения колебания j -го подкрепляющего ребра, направленного вдоль оси α_2 ,

$$\frac{\partial \bar{T}_{21j}}{\partial s_2} + [T_{11}]_j = \rho_j F_j \left(\frac{\partial^2 U_1}{\partial t^2} \pm h_{cj} \frac{\partial^2 \varphi_1}{\partial t^2} \right); \quad (2.8)$$

$$\frac{\partial T_{22j}}{\partial s_2} + k_{2j} \bar{T}_{23j} + [S]_j = \rho_j F_j \left(\frac{\partial^2 U_2}{\partial t^2} \pm h_{cj} \frac{\partial^2 \varphi_2}{\partial t^2} \right);$$

$$\frac{\partial \bar{T}_{23j}}{\partial s_2} - k_{2j} T_{22j} + [\bar{T}_{13}]_j = \rho_j F_j \frac{\partial^2 U_3}{\partial t^2};$$

$$\frac{\partial M_{21j}}{\partial s_2} \pm h_{cj} \frac{\partial \bar{T}_{21j}}{\partial s_2} + [M_{11}]_j = \rho_j F_j \left(\pm h_{cj} \frac{\partial^2 U_1}{\partial t^2} + \left(h_{cj}^2 + \frac{I_{crj}}{F_j} \right) \frac{\partial^2 \varphi_1}{\partial t^2} \right);$$

$$\begin{aligned} \frac{\partial M_{22j}}{\partial s_2} - T_{23j} \pm h_{cj} \left(\frac{\partial T_{22j}}{\partial s_2} + k_{2j} \bar{T}_{23j} \right) + [H]_j = \\ = \rho_j F_j \left(\pm h_{cj} \frac{\partial^2 U_2}{\partial t^2} + \left(h_{cj}^2 + \frac{I_{2j}}{F_j} \right) \frac{\partial^2 \varphi_2}{\partial t^2} \right); \end{aligned}$$

$$\bar{T}_{21j} = T_{21j} + T_{22j} \theta_{1j}; T_{21j} = G_j F_j \varepsilon_{21j}; T_{22j} = E_j F_j \varepsilon_{22j}; \bar{T}_{23j} = T_{23j} + T_{22j} \theta_{2j}; \quad (2.9)$$

$$T_{23j} = G_j F_j k_j^2 \varepsilon_{23j}; M_{21j} = G_j I_{crj} \chi_{21j}; M_{22j} = E_j I_{2j} \chi_{22j}.$$

Уравнения колебаний (1.11), (1.13) дополняются соответствующими естественными граничными и начальными условиями [12].

§3. Методика численного решения нелинейных задач.

Уравнения колебаний (2.6), (2.8) представляют собой систему нелинейных дифференциальных уравнений в частных производных по переменным s_1, s_2, t при наличии пространственных разрывов по координате s_1 . Пространственными разрывами являются линии проектирования центров тяжести поперечного сечения поперечных ребер на срединную поверхность эллипсоидальной оболочки. Исходя из этого фактора, численный алгоритм решения исходной задачи строим следующим образом: определяем решение в гладкой области эллипсоидальной оболочки (2.6) и на линиях пространственных разрывов – (2.8) [8, 9]. Разностный алгоритм основан на применении интегро-интерполяционного метода построения разностных схем по пространственным координатам s_1, s_2 и явной конечно-разностной аппроксимации по временной

координате t [17]. При этом компоненты обобщенного вектора перемещений аппроксимируются в целых точках разностной сетки, а компоненты величин деформаций и усилий – в полужелтых точках сетки. Такой подход позволяет сохранить дивергентную форму разностного представления дифференциальных уравнений, а также и выполнение закона сохранения полной механической энергии на разностном уровне [3]. Переход от непрерывной системы к конечно-разностной выполняется в два этапа.

Первый этап состоит в конечно-разностной аппроксимации дивергентных уравнений колебаний в усилиях-моментах.

Выполняя операцию интегрирования уравнений (2.6), с использованием явной аппроксимации по временной координате, получаем следующие разностные уравнения в гладкой области эллипсоидальной оболочки:

$$\begin{aligned}
& \frac{1}{A_{2l}} \left(\frac{A_{2l+1/2} T_{11l+1/2,m}^n - A_{2l-1/2} T_{11l-1/2,m}^n}{\Delta s_1} \right) - \frac{1}{A_{2l}} \frac{A_{2l+1/2} - A_{2l-1/2}}{\Delta s_1} T_{22l,m}^n + \\
& + \frac{1}{A_{1l}} \frac{A_{1l} T_{21l,m+1/2}^n - A_{1l} T_{21l,m-1/2}^n}{\Delta s_2} + k_{1l} T_{13l,m}^n = \rho h (u_{1l,m}^n)_{\bar{u}} ; \quad (3.1) \\
& \frac{1}{A_{2l}} \left(\frac{A_{2l+1/2} T_{12l+1/2,m}^n - A_{2l-1/2} T_{12l-1/2,m}^n}{\Delta s_1} \right) - \frac{1}{A_{2l}} \frac{A_{2l+1/2} - A_{2l-1/2}}{\Delta s_1} T_{21l,m}^n + \\
& + \frac{1}{A_{1l}} \left(\frac{A_{1l} T_{22l,m+1/2}^n - A_{1l} T_{22l,m-1/2}^n}{\Delta s_2} \right) + k_{2l} T_{23l,m}^n = \rho h (u_{2l,m}^n)_{\bar{u}} ; \\
& \frac{1}{A_{2l}} \left(\frac{A_{2l+1/2} T_{13l+1/2,m}^n - A_{2l-1/2} T_{13l-1/2,m}^n}{\Delta s_1} \right) - k_{1l} T_{11l,m}^n + \\
& + \frac{1}{A_{1l}} \left(\frac{A_{1l} T_{23l,m+1/2}^n - A_{1l} T_{23l,m-1/2}^n}{\Delta s_2} \right) - k_{2l} T_{22l,m}^n + P_{3l,m}^n = \rho h (u_{3l,m}^n)_{\bar{u}} ; \\
& \frac{1}{A_{2l}} \left(\frac{A_{2l+1/2} M_{11l+1/2,m}^n - A_{2l-1/2} M_{11l-1/2,m}^n}{\Delta s_1} \right) - \frac{1}{A_{2l}} \frac{A_{2l+1/2} - A_{2l-1/2}}{\Delta s_1} M_{22l,m}^n + \\
& + \frac{1}{A_{1l}} \left(\frac{A_{1l} M_{21l,m+1/2}^n - A_{1l} M_{21l,m-1/2}^n}{\Delta s_2} \right) - T_{13l,m}^n = \frac{\rho h^3}{12} (\varphi_{1l,m}^n)_{\bar{u}} ; \\
& \frac{1}{A_{2l}} \left(\frac{A_{2l+1/2} M_{12l+1/2,m}^n - A_{2l-1/2} M_{12l-1/2,m}^n}{\Delta s_1} \right) - \frac{1}{A_{2l}} \frac{A_{2l+1/2} - A_{2l-1/2}}{\Delta s_1} M_{21l,m}^n + \\
& + \frac{1}{A_{1l}} \left(\frac{A_{1l} M_{22l,m+1/2}^n - A_{1l} M_{22l,m-1/2}^n}{\Delta s_2} \right) - T_{23l,m}^n = \frac{\rho h^3}{12} (\varphi_{2l,m}^n)_{\bar{u}} .
\end{aligned}$$

В разностных уравнениях (3.1) компоненты обобщенного вектора перемещений срединной поверхности гладкой эллипсоидальной оболочки $\bar{U} = (u_1, u_2, u_3, \varphi_1, \varphi_2)^T$ отнесены к целым узлам разностной сетки $\bar{U}_{l,m} = (u_{1l,m}, u_{2l,m}, u_{3l,m}, \varphi_{1l,m}, \varphi_{2l,m})^T$ по пространственным координатам.

Выполняя операцию интегрирования уравнений (2.8), с использованием явной аппроксимации по временной координате, получаем следующие разностные уравнения для j -го подкрепляющего ребра:

$$\begin{aligned} \frac{T_{21jm+1/2}^n - T_{21jm-1/2}^n}{\Delta s_2} + [T_{11}]_j^n &= \rho_j F_j \left[(u_{1m}^n)_{it} \pm h_{ci} (\varphi_{1m}^n)_{it} \right]; \quad (3.2) \\ \frac{T_{22jm+1/2}^n - T_{22jm-1/2}^n}{\Delta s_2} + k_{2jm} T_{23jm}^n + [S]_j^n &= \rho_j F_j \left[(u_{2m}^n)_{it} \pm h_{ci} (\varphi_{2m}^n)_{it} \right]; \\ \frac{T_{23jm+1/2}^n - T_{23jm-1/2}^n}{\Delta s_2} - k_{2jm} T_{22jm}^n + [T_{13}]_j^n &= \rho_j F_j (u_{3m}^n)_{it}; \\ \frac{M_{21jm+1/2}^n - M_{21jm-1/2}^n}{\Delta s_2} \pm h_{cj} \frac{T_{21jm+1/2}^n - T_{21jm-1/2}^n}{\Delta s_2} + [M_{11}]_j^n &= \\ = \rho_j F_j \left[\pm h_{cj} (u_{1m}^n)_{it} + \left(h_{cj}^2 + \frac{I_{crj}}{F_j} \right) (\varphi_{1m}^n)_{it} \right]; \\ \frac{M_{22jm+1/2}^n - M_{22jm-1/2}^n}{\Delta s_2} - T_{23jm}^n \pm h_{cj} \left(\frac{T_{22jm+1/2}^n - T_{22jm-1/2}^n}{\Delta s_2} + k_{2jm} T_{23jm}^n \right) + [H]_j^n &= \\ = \rho_j F_j \left[\pm h_{cj} (u_{2m}^n)_{it} + \left(h_{cj}^2 + \frac{I_{2j}}{F_j} \right) (\varphi_{2m}^n)_{it} \right]. \end{aligned}$$

Аналогично случаю гладкой эллипсоидальной оболочки, в разностных уравнениях (3.2) компоненты обобщенного вектора перемещений центров масс поперечных сечений j -го ребра $\bar{U}_j = (u_{1j}, u_{2j}, u_{3j}, \varphi_{1j}, \varphi_{2j})^T$ отнесены к целым узлам разностной сетки по пространственным координатам.

Второй этап аппроксимации уравнений состоит в конечно-разностных аппроксимациях величин усилий-моментов и соответствующих деформаций для выполнения конечно-разностного аналога энергетического уравнения [15]. Аппроксимацию уравнений (2.7) и (2.9) представляем согласно [12].

При исследовании вопросов устойчивости линеаризованных разностных уравнений используем необходимые условия устойчивости, согласно которым

$$\Delta t \leq 2 / \omega, \quad (3.3)$$

где $\omega = \max(\omega_0, \omega_j)$, $j = 1, J$ – максимальные частоты собственных колебаний дискретно-разностной системы, соответственно, обшивки и j -го подкрепляющего элемента.

§4. Числовой пример.

В качестве числового примера рассмотрена задача о вынужденных колебаниях поперечно подкрепленной эллипсоидальной оболочки (рис. 1) с жестко защемленными краями в области $D =$

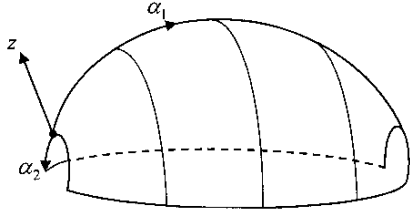


Рис. 1

$= \{\alpha_{10} \leq \alpha_1 \leq \alpha_{1N}, \alpha_{20} \leq \alpha_2 \leq \alpha_{2N}\}$ при действии распределенной нормальной нагрузки $P_3(\alpha_1, \alpha_2, t)$. Краевые условия при этом имеют следующий вид: $\bar{U}(\alpha_{10}, \alpha_2) = \bar{U}(\alpha_{1N}, \alpha_2) = 0$; $\bar{U}(\alpha_1, \alpha_{20}) = \bar{U}(\alpha_1, \alpha_{2N}) = 0$. Начальные условия для всех компонент обобщенного вектора перемещений – нулевые при $t = 0$, т.е. имеем

$$u_1(\alpha_1, \alpha_2) = u_2(\alpha_1, \alpha_2) = u_3(\alpha_1, \alpha_2) = \varphi_1(\alpha_1, \alpha_2) = \varphi_2(\alpha_1, \alpha_2) = 0,$$

$$\frac{\partial u_1(\alpha_1, \alpha_2)}{\partial t} = \frac{\partial u_2(\alpha_1, \alpha_2)}{\partial t} = \frac{\partial u_3(\alpha_1, \alpha_2)}{\partial t} = \frac{\partial \varphi_1(\alpha_1, \alpha_2)}{\partial t} = \frac{\partial \varphi_2(\alpha_1, \alpha_2)}{\partial t} = 0.$$

Распределенная нормальная нагрузка $P_3(\alpha_1, \alpha_2, t)$ имеет вид

$$P_3(\alpha_1, \alpha_2, t) = A \cdot \sin \frac{\pi t}{T} [\eta(t) - \eta(t - T)],$$

где A – амплитуда нагрузки, T – длительность нагрузки. В расчетах принято: $A = 10^6$ Па; $T = 50 \cdot 10^{-6}$ с.

Задача рассмотрена при следующих геометрических и физико-механических параметрах оболочки:

$$\alpha_{10} = \frac{\pi}{12}; \alpha_{1N} = \pi - \frac{\pi}{12}; \alpha_{20} = -\frac{\pi}{2}; \alpha_{2N} = \frac{\pi}{2}; \frac{a}{h} = 60; \frac{b}{a} = 1,5;$$

$$E_1 = E_2 = 7 \cdot 10^{10} \text{ Па}; \nu_{12} = \nu_{21} = 0,33; \rho = 2,7 \cdot 10^3 \text{ кг/м}^3.$$

Физико-механические параметры подкрепляющих элементов – $E_j = E_1$; $\rho_j = \rho$.

Поперечные подкрепляющие элементы расположены вдоль по координате α_2 в сечениях $\alpha_{1j} = \frac{7}{24}\pi + \frac{5}{24}\pi j$; $j = 0, 1, 2$.

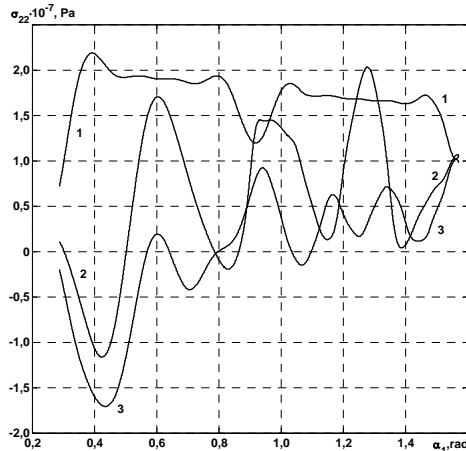


Рис. 2

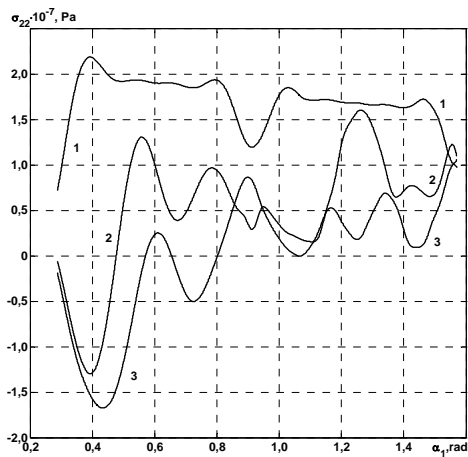


Рис. 3

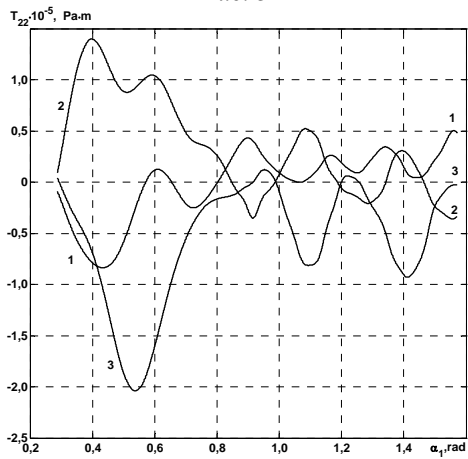


Рис. 4

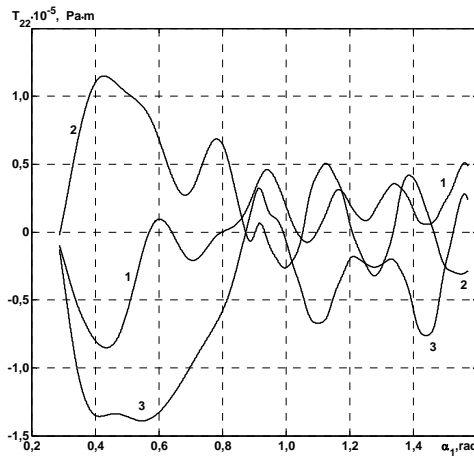


Рис. 5

На рис. 2 – 5 приведены результаты расчетов, которые получены на временном интервале $t_N = 35T$ и представлены в виде наиболее характерных кривых для величин напряжения σ_{22} и усилия T_{22} , которые позволяют проводить анализ напряженного

состояния исследуемой структуры. На рис. 2 – 5 с учетом симметрии по координате α_1 зависимости приведены в диапазоне $\alpha_{10} \leq \alpha_1 \leq \pi/2$ в сечении $\alpha_2 = 0$.

Рис. 2, 3 соответствуют зависимостям величин напряжения σ_{22} от пространственной координаты α_1 в случае внешнего (рис. 2) или внутреннего (рис. 3) расположения ребер. Здесь кривые с индексом 1 отвечают моменту времени $t_1 = T$, кривые с индексом 2 – $t_2 = 3T$, а кривые с индексом 3 – $t_3 = 8T$.

Рис. 4, 5 соответствуют аналогичным зависимостям величин усилий T_{22} в зависимости от внешнего (рис. 4) или внутреннего (рис. 5) расположения ребер. На рис. 4, 5 кривая 1 отвечает моменту времени $t_1 = 3T$, кривая 2 – $t_2 = 6T$, а кривая 3 – $t_3 = 9T$.

Как следует из приведенного графического материала, можно визуально определить месторасположения подкрепляющих ребер в сечениях α_{1j} ($j=0,1,2$). Способ крепления ребер (внутреннее расположение или внешнее) приводит в ряде случаев к разнице по максимальным амплитудам величины напряжений σ_{22} до 25% (кривая 2 на рис. 2 – 3) и величины усилий T_{22} до 47% (кривая 3 на рис. 4 – 5).

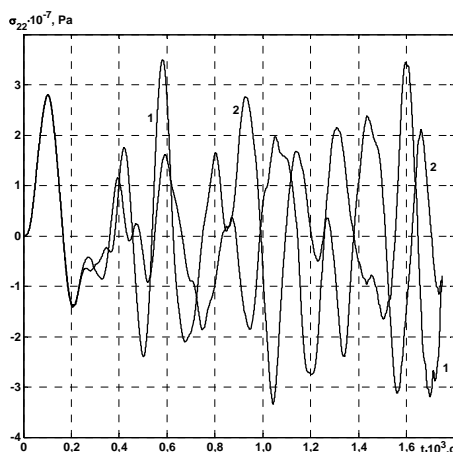


Рис. 6

На рис. 6 приведены зависимости напряжений σ_{22} по времени в характерной точке ($\alpha_1 = \pi/2$; $\alpha_2 = 0$), в которой указанные величины достигают своих максимальных по модулю значений на временном интервале $t_N = 35T$. Здесь кривая 1 соответствует случаю внешнего размещения ребер, а 2 – случаю внутреннего размещения ребер. Способ крепления ребер приводит в ряде случаев к отличию результатов по максимальным амплитудам: для величин напряжений σ_{22} оно достигает 10%.

Заключение.

Работа посвящена исследованию вынужденных неосесимметричных колебаний дискретно подкрепленной эллипсоидальной оболочки. При рассмотрении обшивки и подкрепляющих ребер использована уточненная теория оболочек и стержней, в которой приняты гипотезы Тимошенко. Для вывода уравнений колебаний использован вариационный принцип Гамильтона – Остроградского. Численный метод решения динамических уравнений основан на применении интегро-интерполяционного метода построения конечно-разностных схем для уравнения с разрывными коэффициентами. В качестве числового примера представлены результаты об неосесимметричных колебаниях поперечно подкрепленной эллипсоидальной оболочки при действии распределенной внутренней нагрузки.

РЕЗЮМЕ. Розглянуто задачу про вимушені неосесиметричні коливання підкріплених еліпсоїдальних оболонок при нестационарному навантаженні, побудовано чисельний алгоритм, отримано числові результати і дано їх аналіз.

1. *Амиро И.Я., Заруцкий В.А., Паламарчук В.Г.* Динамика ребристых оболочек. – К.: Наук. думка, 1983. – 204 с.
2. *Амиро И.Я., Заруцкий В.А.* Учет дискретного размещения ребер при изучении напряженно-деформированного состояния, колебаний и устойчивости ребристых оболочек (обзор) // Прикл. механика. – 1998. – **34**, № 4. – С. 3–22.
3. *Амиро И.Я., Заруцкий В.А.* Статика, динамика и устойчивость ребристых оболочек. – Итоги науки и техники. ВИНТИ. Механика деформируемого твердого тела. – 1990. – **21**. – С.132 – 191.
4. *Григоренко Я.М., Беспалова Е.И., Китайгородский А.Б., Шинкарь А.И.* Свободные колебания элементов оболочечных конструкций. – К.: Наук. думка, 1986. – 172с.
5. *Гуляев В.И., Баженов В.А., Гоцуляк Е.А.* Устойчивость нелинейных механических систем. – Львов: Вища шк., 1982. – 255с.
6. *Колебания* ребристых оболочек вращения. / И.Я. Амиро, В.А. Заруцкий, В.Н. Ревуцкий и др. – К.: Наук. думка, 1988. – 171 с.
7. *Луговой П.З.* Динамика тонкостенных конструкций при нестационарных нагрузках (обзор) // Прикл. механика. – 2001. – **37**, № 5. – С. 44–73.
8. *Луговой П.З., Мейш В.Ф.* Численное моделирование динамического поведения подкрепленных оболочек вращения при нестационарном воздействии // Прикл. механика. – 1992. – **28**, №11. – С.38 – 44.
9. *Луговой П.З., Мейш В.Ф., Штанцель Э.А.* Нестационарная динамика неоднородных оболочечных конструкций. – К.: Изд.-полиграф. центр “Киевский университет”, 2005. – 563с.
10. *Мейш В.Ф.* Исследование напряженно-деформированного состояния дискретно подкрепленных продольными ребрами эллипсоидальных оболочек при нестационарных распределенных нагрузках / В.Ф. Мейш, Н.В. Майбородина // Теоретическая и прикладная механика – 2007. – Вып. 43. – С. 150 – 155.
11. *Мейш В.Ф., Майбородина Н.В.* Неосесимметричные колебания эллипсоидальных оболочек при нестационарных распределенных нагрузках // Прикл. механика. – 2008. – **44**, № 9. – С. 73 – 84.
12. *Мейш В.Ф., Майбородина Н.В.* К расчету неосесимметричных колебаний дискретно подкрепленных поперечными ребрами гибких эллипсоидальных оболочек при нестационарных нагрузках // Прикл. механика. – 2008. – **44**, № 10. – С. 63 – 73.
13. *Майбородіна Н.В.* Коливання дискретно підкріплених еліпсоїдальних ортотропних оболонок при нестационарних навантаженнях // Вісн. Київ. ун-ту. Сер. фіз.-мат. науки. – 2008. – Вип. № 4. – С. 71 – 74.
14. *Майбородина Н.В., Мейш В.Ф.* Влияние геометрической нелинейности на колебания подкрепленных ребрами эллипсоидальных оболочек при нестационарной нагрузке // Проблеми обчислюваної механіки і міцності конструкцій: Зб. наук. праць Дніпропетр. нац. ун-ту. – Дніпропетровськ: Ліра, 2011. – Вип. 17. – С. 188 – 194.
15. *Навал И.К., Пацюк В.И., Римский В.К.* Нестационарные волны в деформируемых средах. – К.: Штиинца, 1986. – 236 с.
16. *Новожилов В.В.* Основы нелинейной теории упругости. – Л.; М.: Гостехиздат, 1948. – 212 с.
17. *Самарский А.А.* Теория разностных схем. – М.: Наука, 1977. – 656 с.
18. *Lugovoi P.Z., Meish V.F., Rybakin B.P., Sekrieru G.V.* On Numerical Solution of Dynamics Problems in the Theory of Reinforced Shells // Int. Appl. Mech. – 2006. – **42**, N4. – P.536 – 541.
19. *Zarutskii V.A., Podil'chuk I.Yu.* Propagation of Harmonic Waves in Longitudinally Reinforced Cylindrical Shells with Low Shear Stiffness // Int. Appl. Mech. – 2006. – **42**, N5. – P.525 – 529.

Поступила 12.10.2011

Утверждена в печать 06.06.2013